

УДК 621.867.3
**МЕТОДИКА ОПТИМІЗАЦІЇ РЕЖИМІВ ПУСКУ КОВШОВОГО
 ЕЛЕВАТОРА ЗА КРИТЕРІЄМ СЕРЕДНЬОКВАДРАТИЧНОГО ЗУСИЛЛЯ**
 В ТЯГОВОМУ ОРГАНІ

©Ловейкін В. С., Ткачук Л. Б.

Національний університет бориспільського і природокористування України

Інформація про авторів:

Ловейкін Вікторіан Сергійович ORCID: 0000-0003-4259-3900; lovsv@ukr.net; доктор технічних наук; завідувач кафедри конструкування машин і обладнання; Національний університет бориспільського і природокористування України; науковий корпус №11, вул. Героя Оборони, 12, м. Київ, 03041, Україна.

Ткачук Лесь Борисович ORCID: 0000-0003-2540-4127; leysa.tkauchuk@gmail.com; аспірант кафедри конструкування машин і обладнання; Національний університет бориспільського і природокористування України; науковий корпус №11, вул. Героя Оборони, 12, м. Київ, 03041, Україна.

Побудовано динамічну модель режиму руху ковшового елеватора у вигляді голономної механічної системи з п'ятьма ступенями вільності. На основі побудованої динамічної моделі створено математичну модель для оптимізації режиму руху, яка проілюстрована на прикладі використання в якості критерію оптимізації середньоквадратичного значення зусилля в тяговому органі при збіганні з натяжного барабана. За допомогою розробленої математичної моделі отримано залежності кінематичних характеристик ланок з врахуванням оптимального режиму руху, на основі яких розраховано показники середньоквадратичних та максимальних значень кінематичних і силових характеристик тягового органу.

Пронализовано результати оптимального та реального режиму руху ковшового елеватора за критерієм середньоквадратичного зусилля в тяговому органі.

Ключові слова: ковшовий елеватор; оптимізація; режим руху; критерії; тяговий орган.

Ловейкін В. С., Ткачук Л. Б. «Методика оптимизації режимів пуска ковшового елеватора по критерію середньоквадратичного зусилля в тяговому органі».

Построено динамическую модель режима движения ковшового элеватора в виде голономной механической системы с пятью степенями свободы. На основе построенной динамической модели создана математическая модель для оптимизации режима движения ковшового элеватора. Разработана методика

оптимізації режима руху, яка проілюстрована на примере использования в качестве критерия оптимизации среднеквадратичного значения усилия в тяговом органе при сбегании с натяжного барабана. С помощью разработанной математической модели получены зависимости кинематических характеристик звеньев с учетом оптимального режима движения, на основе которых рассчитаны показатели среднеквадратических и максимальных значений кинематических и силовых характеристик тягового органа.

Проанализированы результаты оптимального и реального режимов движения ковшевого элеватора по критерию среднеквадратичного усилия в тяговом органе.

Ключевые слова: ковшовой элеватор; оптимизация; режим движения; критерий; тяговый орган.

Loveikin V., Tkachuk L. "Methodology optimization of start-up mode of the bucket elevator for mean effort in the traction body".

The dynamic model motion mode of bucket elevator as holonomic mechanical system with five degrees of freedom was constructed. Based constructed a dynamic model created a mathematical model to optimize traffic regime bucket elevator. Technique of optimizing motion mode was developed, which is illustrated by the example of use as a criterion optimization mean efforts traction body with coincidence of the tensioning drums. Using the developed mathematical model obtained dependences kinematic characteristics of units taking into account the optimal mode of movement based on which calculated mean-performance and maximum values of kinematic and power characteristics of the traction body.

The results of optimal and real mode motion of the bucket elevator were analyzed by the criterion of mean efforts in the traction body.

Key words: bucket elevator; optimization; mode motion; criterion; traction body.

1. Постановка проблеми

Підвищення ефективності зернових елеваторів є одним з головних напрямків покращення технологічного процесу обробки та транспортування зерна.

В процесі роботи зернового елеватора на ділянках переходних процесів (пуск, гальмування, стопорення або перехід з однієї швидкості на іншу) в елементах приводного механізму, тягового органу та несучих конструкцій

виникають коливання [1], що призводить до підвищення в них динамічних навантажень. Це сприяє накопиченню втомих навантажень в конструкції елеватора і, як наслідок, передчасному його руйнуванню, ускладнюючи технологічний процес перевантаження зернових матеріалів (осипання та пошкодження зерна) та негативно впливає на безпеку експлуатацію елеватора в цілому.

2. Аналіз останніх досліджень і публікацій

Для оптимізації режимів руху підйомально-транспортних і, зокрема, транспортуючих машин використовуються методи динамічного програмування [2], принципу максимуму [3] та варіаційного числення [4, 5]. Серед цих методів найбільше поширення отримали методи варіаційного числення [5], які забезпечують плану зміну як кінематичних характеристик ланок машин, так і рушійних сил. Однак при оптимізації режимів руху транспортуючих машин важливе значення має вибір критерію оцінки [6]. В роботі [7] проведено оптимізацію режимів пуску ковшового елеватора за кінематичними критеріями, які не завжди відображають динамічні процеси, що мають місце при роботі конвеєрів. Для зернових елеваторів основним елементом є тяговий орган (стрічка), тому для оптимізації режимів його руху доцільно використовувати критерії , які відображають навантаження, що виникають в тяговому органі.

3. Мета дослідження

Розробити методику для оптимізації режимів пуску ковшового елеватора за критерієм середньооквадратичного зусилля в тяговому органі.

4. Виклад основного матеріалу

Для оптимізації режиму руху ковшового елеватора, останній представлений у вигляді динамічної моделі з п'ятьма ступенями вільності та розмікненим ланцюговим контуром в точці набігання стрічки на натяжний барабан (рис. 1). За узагальнені координати в цій моделі прийняті кутові координати ротора електродвигуна ϕ_2 , зведені до осі повороту приводного

барабана, приводного ϕ_1 і натяжного ϕ_2 барабанів, а також лінійні координати центрів мас робочої x_p та неробочої x_i , глюк ковшового елеватора.

Використовуємо принцип д'Аламберра, для прийняття динамічної моделі складемо диференціальні рівняння руху ковшового елеватора, які мають вигляд:

$$\begin{cases} J_{\phi_2}\ddot{\phi}_2 = cr(x_p - \phi_2 r) - M_2 - F_2r; \\ m_p\ddot{x}_p = c(\phi_2 r - x_p) + c(x_i - \phi_2 r) - m_p g; \\ J_{\phi_1}\ddot{\phi}_1 = c_1(\phi_2 - \phi_1) + c(x_i - \phi_1 r) - cr(\phi_2 r - x_p); \\ J_{\phi_2}\ddot{\phi}_2 = M_2 - c_1(\phi_1 - \phi_2); \\ m_i\ddot{x}_i = F_2 + m_i g - c(x_i - \phi_1 r), \end{cases} \quad (1)$$

де J_{ϕ_2} , J_1 , J_2 – моменти інерції відносно власних осей обертання відповідно натяжного та приводного барабанів і приводного механізму, зведені до осі повороту приводного барабана; m_p , m_i – маси відповідно робочої та неробочої глюк елеватора; c – коефіцієнт жорсткості половини довжини стріки на робочій (неробочій) гілці ковшера, c_1 – коефіцієнт жорсткості пружинних елементів приводного механізму;

зведеній до осі повороту приводного барабана; M_2 – момент опору від завантаження ковша, зведеній до осі повороту натяжного барабана; M_2 – рушійний момент на валу електродвигуна, зведеній до осі повороту приводного барабана; r – радіус приводного і натяжного барабанів; g – прискорення вільного падіння.

Оптимізуємо режим руху приводного барабана за критерієм середньоквадратичне значення зусилля в тяговому органі при збіганні з натяжного барабана.

Середньоквадратичне значення зусилля в тяговому органі при збіганні з натяжного барабана визначається:

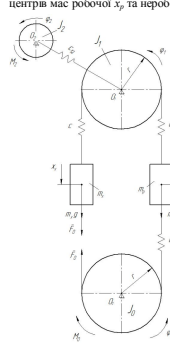


Рис. 1 – Динамічна модель ковшового елеватора

$$R_{\text{max}} = \left[\frac{1}{t_f - t_0} \int_{t_0}^{t_f} R_s^2 dt \right]^{\frac{1}{2}}, \quad (2)$$

де R_s – зусилля в тяговому органі при обертанні з натяжного барабана

$$R_s = c(\varphi_s - \varphi_0 r) \quad (3)$$

з першого рівняння системи (1) знаходимо:

$$R_s = c(\varphi_p - \varphi_0 r) = J_0 \dot{\varphi}_0 + M_0 + F_0 r, \quad (4)$$

де M_0 – момент опору на натяжному барабані, що виникає при зачепуванні зерна; J_0 – момент інерції натяжного барабана; F_0 – зусилля попереднього натягу тягового органу.

$$f = R_s^2 = (J_0 \dot{\varphi}_0 + M_0 + F_0 r)^2. \quad (5)$$

Умовою мінімуму критерію (2) з рівняння Ейлера-Пуассона:

$$\frac{\partial f}{\partial \dot{\varphi}_0} - \frac{d}{dt} \frac{\partial f}{\partial \varphi_0} + \frac{d^2}{dt^2} \frac{\partial f}{\partial \ddot{\varphi}_0} = 0. \quad (6)$$

$$\frac{\partial f}{\partial \dot{\varphi}_0} - \frac{\partial f}{\partial \dot{\varphi}_0} = 0; \frac{\partial f}{\partial \ddot{\varphi}_0} = 2J_0(J_0 \dot{\varphi}_0 + M_0 + F_0 r). \quad (7)$$

$$\frac{d^2}{dt^2} \frac{\partial f}{\partial \ddot{\varphi}_0} = 2J_0^2 \ddot{\varphi}_0. \quad (8)$$

Після підстановки виразів (7) і (8) в рівняння (6) маємо

$$\ddot{\varphi}_0 = 0. \quad (9)$$

Інтегруючи рівняння (9) отримаємо:

$$\dot{\varphi}_0 = C_1; \quad (10)$$

$$\dot{\varphi}_0 = C_2 t + C_3; \quad (11)$$

$$\dot{\varphi}_0 = \frac{1}{2} C_2 t^2 + C_2 t + C_3; \quad (12)$$

$$\dot{\varphi}_0 = \frac{1}{6} C_2 t^3 + \frac{1}{2} C_2 t^2 + C_2 t + C_3, \quad (13)$$

де C_1, C_2, C_3, C_4 – постійні інтегрування, які визначаються з краївих умов руху

$$t=0, \dot{\varphi}=0, \ddot{\varphi}_0=0; \quad (14)$$

$$t=t_f, \dot{\varphi}_0=\alpha, \ddot{\varphi}_0=0. \quad (15)$$

Після підстановки цих умов в залежності (10) знаходимо:

$$C_1 = 0, C_4 = 0. \quad (16)$$

$$\begin{cases} \frac{1}{2} C_2 t_f^2 + C_2 t_f = \alpha \\ C_2 t_f + C_3 = 0 \end{cases} \quad (17)$$

$$\text{З системи (13) маємо: } C_1 = -\frac{2\omega}{t_1^2}, \quad C_2 = \frac{2\omega}{t_1} \quad (14)$$

Підставивши вирази (12) і (14) в залежності (10), отримаємо режим руху натяжного барабана, який забезпечує мінімальні середньоквадратичні значення зусилля в тяговому органі при збуренні з натяжного барабана:

$$\begin{aligned} \ddot{\phi}_0 &= -2\frac{\omega}{t_1^2}, \\ \ddot{\phi}_0 &= 2\frac{\omega}{t_1}\left(1 - \frac{t}{t_1}\right), \\ \dot{\phi}_0 &= \omega\left(\frac{2}{t_1} - \frac{t^2}{t_1^2}\right), \\ \phi_0 &= \omega t\left(\frac{t^2}{t_1^2} - \frac{t^3}{3t_1^3}\right). \end{aligned} \quad (15)$$

З першого рівняння системи (1) знайдемо режим руху центра мас робочої гілки, при якому зусилля в тяговому органі при збуренні з натяжного барабана є мінімальним:

$$\begin{aligned} x_p &= \omega r\left(\frac{t^2}{t_1^2} - \frac{1}{3} \frac{t^3}{t_1^3}\right) + 2\frac{J_p \omega}{cr_1^2}\left(1 - \frac{t}{t_1}\right) + \frac{M_g J_p r + F_0}{c}, \\ \ddot{x}_p &= \omega r\left(2\frac{t}{t_1} - \frac{t^2}{t_1^2}\right) - 2\frac{J_p \omega}{cr_1^2}, \\ \ddot{x}_p &= 2\frac{\omega r}{t_1}\left(1 - \frac{t}{t_1}\right). \end{aligned} \quad (16)$$

З другого рівняння системи (1), знайдемо закон руху приводного барабана при мінімальному середньоквадратичному значенні натягу тягового органу при збуренні з натяжного барабана:

$$\begin{aligned} \varphi_1 &= \omega r\left(\frac{t^2}{t_1^2} - \frac{1}{3} \frac{t^3}{t_1^3}\right) + 4\frac{J_p \omega}{cr_1^2}\left(1 - \frac{t}{t_1}\right) + 2\left(\frac{M_g}{cr_1^2} + \frac{F_0}{c}\right) + 2\frac{m_p \omega^2}{c t_1}\left(-\frac{t}{t_1}\right), \\ \varphi_1 &= \omega r\left(\frac{t^2}{t_1^2} - \frac{1}{3} \frac{t^3}{t_1^3}\right) + 2\frac{\omega}{c t_1}\left(2\frac{J_p}{r^2} + m_p\right)\left(1 - \frac{t}{t_1}\right) + \frac{2}{c r}\left(\frac{M_g}{r} + F_0\right), \\ \dot{\varphi}_1 &= \omega\left(2\frac{t}{t_1} - \frac{t^2}{t_1^2}\right) - 2\frac{\omega}{c t_1}\left(2\frac{J_p}{r^2} + m_p\right), \\ \ddot{\varphi}_1 &= 2\frac{\omega r}{t_1}\left(1 - \frac{t}{t_1}\right) \end{aligned} \quad (17)$$

Розв'язавши останнє рівняння системи (1) знайдемо закон руху неробочої гілки конуса

Підставимо в рівняння (18) вираз φ з системи (17), в результаті чого будемо мати

$$m_r \ddot{x}_r + c x_r = cr\omega \left(\frac{t^2}{l_i^2} - \frac{1}{3} \frac{t^3}{l_i^3} \right) + 2 \frac{\omega r}{l_i} \left(2 \frac{J_0}{r^2} + m_p \right) \left(1 - \frac{l}{l_i} \right) + 2 \frac{M_{\text{п}}}{r} + 3F_0 + m_r g. \quad (19)$$

Розділивши всі члени рівняння (19) на коефіцієнт біля найстаршої похідної і зробивши заміну

$$k = \sqrt{\frac{c}{m_r}}, \quad (20)$$

отримаємо

$$\ddot{x}_r + k^2 x_r = \frac{1}{m_r} \left[cr\omega \left(\frac{t^2}{l_i^2} - \frac{1}{3} \frac{t^3}{l_i^3} \right) + 2 \frac{\omega r}{l_i} \left(2 \frac{J_0}{r^2} + m_p \right) \left(1 - \frac{l}{l_i} \right) + 2 \frac{M_{\text{п}}}{r} + 3F_0 + m_r g \right]. \quad (21)$$

Розв'язок рівняння (21) шукаємо як суму загального розв'язку однорідного рівняння та часткового розв'язку повного рівняння, тобто

$$x_r = x_r^* + x_r^{\text{пн}}. \quad (22)$$

Однорідне рівняння

$$\ddot{x}_r^* + k^2 x_r^* = 0. \quad (23)$$

Характеристичне рівняння

$$r^2 + k^2 = 0;$$

$$r_{1,2} = \pm ik.$$

Тоді

$$x_r^* = C_1 \sin kt + C_2 \cos kt. \quad (24)$$

Відповідно до виду правої частини рівняння (21) частковий розв'язок повного рівняння шукаємо у вигляді:

$$\begin{aligned} x_r^{\text{пн}} &= A_0 + A_1 t + A_2 t^2 + A_3 t^3; \\ x_r^{\text{пн}} &= A + 2A_1 t + 3A_2 t^2; \\ x_r^{\text{пн}} &= 2A_1 + 6A_2 t. \end{aligned} \quad (25)$$

Після підстановки виразів (25) в рівняння (21) маємо

$$\begin{aligned} 2A_2 + 6A_2 t + k^2 A_0 + A_1 k^2 t + A_2 k^2 t^2 + A_3 k^2 t^3 &= \\ = \frac{1}{m_r} \left[cr\omega \left(\frac{t^2}{l_i^2} - \frac{1}{3} \frac{t^3}{l_i^3} \right) + 2 \frac{\omega r}{l_i} \left(2 \frac{J_0}{r^2} + m_p \right) \left(1 - \frac{l}{l_i} \right) + 2 \frac{M_{\text{п}}}{r} + 3F_0 + m_r g \right]. \end{aligned} \quad (26)$$

З рівняння (26) отримаємо систему рівнянь:

$$\begin{cases} 2A_1 + k^2 A_0 = \frac{1}{m_p} \left[2 \frac{cor}{t_1} \left(2 \frac{J_0}{r^2} + m_p \right) + 2 \frac{M_0}{r} + 3F_0 + m_s g \right]; \\ 6A_1 + Ak^2 = -\frac{2cor}{m_p t_1^2} \left(2 \frac{J_0}{r^2} + m_p \right); \\ Ak^2 = \frac{cor}{m_p t_1}; \\ A_0 k^2 = -\frac{cor}{3m_p t_1^2}. \end{cases} \quad (27)$$

З отриманої системи рівнянь (27) знаходимо:

$$\begin{aligned} A_0 &= \frac{1}{m_p k^2} \left[2 \frac{cor}{t_1} \left(2 \frac{J_0}{r^2} + m_p \right) + 2 \frac{M_0}{r} + 3F_0 + m_s g \right] - 2 \frac{cor}{m_p k^2 t_1}; \\ A_1 &= -\frac{2cor}{m_p k^2 t_1^2} \left(2 \frac{J_0}{r^2} + m_p \right) + 2 \frac{cor}{m_p k^2 t_1^2}; \\ A_2 &= \frac{cor}{m_p k^2 t_1}; \\ A_3 &= -\frac{cor}{3m_p k^2 t_1^2}. \end{aligned} \quad (28)$$

Обудовані розв'язки (24) і (25) з урахуванням виразів (28), отримаємо загальний розв'язок рівняння (21):

$$\begin{aligned} x_s &= C_1 \sin kt + C_2 \cos kt + \frac{1}{m_p k^2} \left[2 \frac{cor}{t_1} \left(2 \frac{J_0}{r^2} + m_p \right) + 2 \frac{M_0}{r} + 3F_0 + m_s g - 2 \frac{cor}{k^2 t_1} \right] + \\ &+ 2 \frac{cor}{m_p k^2 t_1^2} \left(2 \frac{J_0}{r^2} + m_p + \frac{c}{k^2} \right) t + \frac{cor}{m_p k^2 t_1^2} t^2 - \frac{cor}{3m_p k^2 t_1^2} t^3. \end{aligned} \quad (29)$$

З початкових умов руху при $t = 0$, коли $x_s = \dot{x}_s = 0$ знайдемо постійні C_1 і C_2 :

$$\begin{aligned} x_s &= C_1 \sin kt + C_2 \cos kt + \frac{1}{m_p k^2} \left[2 \frac{cor}{t_1} \left(2 \frac{J_0}{r^2} + m_p - \frac{c}{k^2} \right) + 2 \frac{M_0}{r} + 3F_0 + m_s g \right] + \\ &+ 2 \frac{cor}{m_p k^2 t_1^2} \left(2 \frac{J_0}{r^2} + m_p + \frac{c}{k^2} \right) t + \frac{cor}{m_p k^2 t_1^2} t^2 - \frac{cor}{3m_p k^2 t_1^2} t^3; \\ \dot{x}_s &= C_2 k \cos kt - C_1 k \sin kt + \frac{2cor}{m_p k^2 t_1^2} \left(2 \frac{J_0}{r^2} + m_p + \frac{c}{k^2} \right) + 2 \frac{cor}{m_p k^2 t_1} t - \frac{cor}{m_p k^2 t_1^2} t^2. \end{aligned} \quad (30)$$

Підставивши початкові умови руху неробочої гілки елеватора в залежності (30), отримаємо систему рівнянь:

$$\begin{cases} 0 = C_1 + \frac{1}{m_p k^2} \left[2 \frac{cor}{t_1} \left(2 \frac{J_0}{r^2} + m_p - \frac{c}{k^2} \right) + 2 \frac{M_0}{r} + 3F_0 + m_s g \right]; \\ 0 = C_2 k + \frac{2cor}{m_p k^2 t_1^2} \left(2 \frac{J_0}{r^2} + m_p + \frac{c}{k^2} \right); \\ 0 = C_2 k + \frac{2cor}{m_p k^2 t_1} \left(2 \frac{J_0}{r^2} + m_p + \frac{c}{k^2} \right) \end{cases} \quad (31)$$

Розв'язавши систему (30), знайдемо постійні C_1 і C_2 :

$$\begin{aligned} C_1 &= -\frac{2\omega r}{m_k t_i^2} \left(2 \frac{J_0}{r^2} + m_p + \frac{c}{k^2} \right) \\ C_2 &= -\frac{1}{m_k t_i} \left[2 \frac{\omega r}{t_i} \left(2 \frac{J_0}{r^2} + m_p - \frac{c}{k^2} \right) + 2 \frac{M_0}{r} + 3F_u + m_g \right] \end{aligned} \quad (32)$$

Підставивши постійні (32) в залежності (30), отримаємо оптимальний закон руху нерівного глини елеватора:

$$\begin{aligned} x_i &= \frac{2\omega r}{m_k t_i^2} \left(2 \frac{J_0}{r^2} + m_p + \frac{c}{k^2} \right) (kt - \sin kt) + \\ &+ \frac{1}{m_k t_i^2} \left[\frac{\omega r}{t_i} \left(2 \frac{J_0}{r^2} + m_p - \frac{c}{k^2} \right) + 2 \frac{M_0}{r} + 3F_u + m_g \right] (1 - \cos kt) + \frac{\omega r}{m_k t_i} \left(t^2 - \frac{t^3}{3t_i} \right) \\ \dot{x}_i &= \frac{2\omega r}{m_k t_i^2} \left(2 \frac{J_0}{r^2} + m_p + \frac{c}{k^2} \right) k(t - \cos kt) + \\ &+ \frac{1}{m_k t_i^2} \left[2 \frac{\omega r}{t_i} \left(2 \frac{J_0}{r^2} + m_p - \frac{c}{k^2} \right) + 2 \frac{M_0}{r} + 3F_u + m_g \right] \sin kt + \frac{\omega r}{m_k t_i} \left(2t - \frac{t^2}{t_i} \right) \\ \ddot{x}_i &= \frac{2\omega r}{m_k t_i^2} \left(2 \frac{J_0}{r^2} + m_p + \frac{c}{k^2} \right) \sin kt + \\ &+ \frac{k}{m_k t_i^2} \left[2 \frac{\omega r}{t_i} \left(2 \frac{J_0}{r^2} + m_p - \frac{c}{k^2} \right) + 2 \frac{M_0}{r} + 3F_u + m_g \right] \cos kt + 2 \frac{\omega r}{m_k t_i} \left(1 - \frac{t}{t_i} \right) \end{aligned} \quad (33)$$

З третього рівняння системи (1) знайдемо оптимальний закон руху ротора електродвигуна, зведений до приводного барабана:

$$\begin{aligned} \varphi_1 &= \left(1 + 2 \frac{\omega r}{c_1 t_i} \right) \frac{\omega r}{t_i} \left(1 - \frac{t}{3t_i} \right) + 2 \frac{\omega r}{c_1 t_i} \left(2 \frac{J_0}{r^2} + m_p \right) \left(1 - \frac{t}{t_i} \right) - 2 \frac{2}{c_1 t_i} \left(\frac{M_0}{r} + F_u \right) \\ &- \frac{c_1}{c_2} \left[\frac{\omega r}{t_i} \left(1 - \frac{t}{3t_i} \right) + 2 \frac{J_0 \omega r}{c_1 t_i} \left(1 - \frac{t}{t_i} \right) - \frac{M_0 f_u + F_u}{c} - 2 \frac{\omega r}{m_k t_i^2} \left(2 \frac{J_0}{r^2} + m_p - \frac{c}{k^2} \right) \right] kt - \sin kt \} - \\ &- \frac{1 - \cos kt}{m_k t_i^2} \left[\frac{\omega r}{t_i} \left(2 \frac{J_0}{r^2} + m_p - \frac{c}{k^2} \right) + 3F_u + 2 \frac{M_0}{r} + m_g \right] \frac{\omega r}{m_k t_i} \left(1 - \frac{t}{t_i} \right); \\ \varphi_2 &= \left(1 + 2 \frac{\omega r}{c_1 t_i} \right) \frac{\omega r}{t_i} \left(2t - \frac{t^2}{t_i} \right) + 2 \frac{\omega r}{c_1 t_i} \left(2 \frac{J_0}{r^2} + m_p \right) \left(1 - \cos kt \right) - \\ &- \frac{c_1}{c_2} \left[\frac{\omega r}{t_i} \left(2t - \frac{t^2}{t_i} \right) + 2 \frac{J_0 \omega r}{c_1 t_i} \left(1 - \frac{t}{t_i} \right) - 2 \frac{\omega r}{m_k t_i^2} \left(2 \frac{J_0}{r^2} + m_p + \frac{c}{k^2} \right) \right] + 2 \frac{\omega r}{c_1 t_i} - \\ &- \frac{\sin kt}{m_k t_i^2} \left[\frac{\omega r}{t_i} \left(2 \frac{J_0}{r^2} + m_p - \frac{c}{k^2} \right) + 3F_u + 2 \frac{M_0}{r} + m_g \right] \frac{\omega r}{m_k t_i} \left(2t - \frac{3t^2}{t_i} \right); \\ \varphi_3 &= 2 \left(1 + 2 \frac{\omega r}{c_1 t_i} \right) \frac{\omega r}{t_i} \left(1 - \frac{t}{t_i} \right) - \frac{c_1}{c_2} \left[\frac{2\omega r}{t_i} \left(1 - \frac{t}{t_i} \right) - 2 \frac{\omega r}{m_k t_i^2} \left(2 \frac{J_0}{r^2} + m_p + \frac{c}{k^2} \right) \right] \sin kt - \\ &- \frac{k \cos kt}{m_k t_i^2} \left[\frac{\omega r}{t_i} \left(2 \frac{J_0}{r^2} + m_p - \frac{c}{k^2} \right) + 3F_u + 2 \frac{M_0}{r} + m_g \right] \frac{\omega r}{m_k t_i} \left(1 - \frac{2t}{t_i} \right). \end{aligned} \quad (34)$$

Зусилля в тяговому органі при набіганні на приводний барабан визначається наступним виразом

$$R_t = c(\varphi_r - x_p) \quad (35)$$

Для ковшового елеватора з параметрами: $J_0=65 \text{ кг}\cdot\text{м}^2$, $J_1=78,4 \text{ кг}\cdot\text{м}^2$, $J_2=79,4 \text{ кг}\cdot\text{м}^2$, $R=0,315 \text{ м}$, $c=2000 \text{ Н}\cdot\text{мрад}$, $c=330000 \text{ Н}\cdot\text{м}$, $n=32$, $n_2=32$, $m=9 \text{ кг}$, $m_s=9 \text{ кг}$ розраховані кінематичні та динамічні характеристики оптимального режиму руху (рис.2). Крім того, на цьому рисунку наведені характеристики руху ковшового елеватора на приводний електродвигун, що наведені в роботі [1].

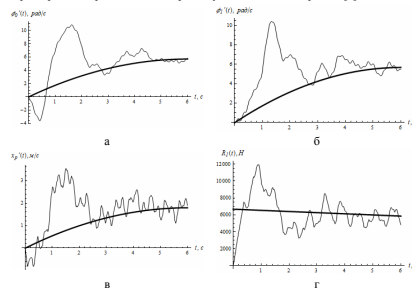


Рис. 2 – Графічні залежності динаміки руху ковшового елеватора:
а, б – зміни кутової швидкості матіжного і приводного барабанів відповідно;
в – зміни лінійної швидкості маси, що знаходиться на середині частині робочої глини;

г – зусилля в тяговому органі при набіганні на приводний барабан
В програмі Mathematica 9.0 [8] розраховано для оптимального режиму та реального елеватора з 32 масами на робочій та неробочій гликах середньоквадратичні та максимальні значення таких показників:

- кутові швидкості приводного ϕ_1 , та натяжного ϕ_2 барабанів;
 - лінійна швидкість зведеній маси, що знаходить в середній частині робочої \dot{x} , гілки;
 - зусилля в тяговому органі при набіганні на привідний барабан R_t .
- В результаті проведених розрахунків отримано дані, які наведені в табл. 1:

Таблиця 1 – Середньоквадратичні та максимальні значення

Показники	Середньоквадратичні значення		Максимальні значення	
	оптимальний режим	32 маси	оптимальний режим	32 маси
$\dot{x}_s, \text{м/с}$	1.31	1.91	1.79	3.54
$\phi_1, \text{рад/с}$	4.16	6.13	5.70	10.85
$\phi_2, \text{рад/с}$	4.13	5.82	5.67	10.39
$R_t, \text{Н}$	6271	6490	6675	11953

З отриманих графічних залежностей видно, що під час пуску реального елеватора з 32-ма завантаженими ковшами, в його рухомих елементах виникають значні коливальні процеси. Величина цих коливань залежить від точності моделювання робочої і неробочої гілок конвеєра. Для спрощення оптимізації режиму руху за критерієм середньоквадратичного значення зусилля в тяговому органі при збіганні з натяжного барабана, використана динамічну модель з одиною масою на робочій та холостій гілках відповідно.

Аналізуючи результати табл. 1 видно, що максимальні значення показників реального конвеєра з 32-ма ковшами на робочій та неробочій гілках практично відіні перевищують ці ж показники з оптимальним режимом руху. Також видно, що максимальні значення лінійної швидкості на робочій гілці та кутової швидкості приводного і натяжного барабанів при оптимальному режимі наявні не перевищують середньоквадратичних значень для реального елеватора. Лише максимальні значення зусилля в тяговому органі при набіганні на привідний барабан при оптимальному режимі на 2 % перевищують середньоквадратичне значення цього ж зусилля при реальному режимі руху. Різниця між оптимальним та реальним режимом руху ковшового зернового елеватора за середньоквадратичним значенням складає від 25 % до 35 %, а показники зусилля в тяговому органі при набіганні на привідний барабан при реальному режимі лише на 2 % більшими від оптимального.

Висновки

Побудовано динамічну модель режиму руху ковшового елеватора у вигляді голономної механічної системи з п'ятьма ступенями вільності. На основі

побудованої динамічної моделі створено математичну модель для оптимізації режиму руху зернового елеватора за критерієм середньоквадратичного значення зусилля в тяговому органі при збіганні з наїждженою барабалою. За допомогою розробленої математичної моделі отримані залежності кінематичних характеристик ланок для конкретного елеватора з 32-ма завантаженнями ювішами та ланок побудованої динамічної моделі з врахуванням оптимального режиму руху. Проаналізувавши результати таблиці 1, видно, що при оптимальному режимі руху козлового елеватора максимальні та середньоквадратичні значення є значно меншими, в порівнянні з реальним режимом руху конвеєра на динамічній характеристики приводного електродвигуна.

Також слід зазначити, що в проведених дослідженнях отриманий оптимальний режим руху при постійній сили опору зачепування зерна. Дослідження було б розглянути вплив змінного опору зачепування зерна, як це зроблено для скребкових конвеєрів в роботі [9].

Список використаних джерел:

1. Ловейкін В. С. Аналіз руху козлового елеватора з динамічною механічною характеристикою діаграм / В. С. Ловейкін, Л. Б. Гаук // Науковий вісник Національного університету бізнесу і промисловості УДАР. – К.: 2014. – Вип. 294. – С. 10–14.
2. Бєзгляд Р. П. Практическое управление / Р. Бєзгляд, Н. И. Воронова. – М.: Издательство литературы, 1960. – 400 с.
3. Гамерський В. В. Оптимальные методы теории управления / В. В. Гамерський. – М.: ГИИЗ, 1961. – 392 с.
4. Гетнер Ю. П. Вариационные методы оптимального управления / Ю. П. Гетнер. – Л.: Энергоиздат, 1966. – 288 с.
5. Ловейкін В. С. Розрахун оптимальних режимів діяння механізмів стрічкових машин / В. С. Ловейкін // Вестник КНДУ. – 1996. – № 18.
6. Ловейкін В. С. Динаміка руху козловського елеватора / В. С. Ловейкін, А. П. Несторов. – Х.: ХНАДУ, 2002. – 291 с.
7. Ловейкін В. С. Динаміка руху козловського елеватора із завантаженням гілкою / В. С. Ловейкін, В. А. Боргут // Підйомно-транспортна тематика. – 2011. – №1(37). – С. 6-7, 8.
8. Вагосткій Л. Введені в Wolfram Mathematica. [Електронний ресурс] – Режим доступу: http://www.exponenta.ru/educational/vugovskiy/vugovskiy_ar/. – Створений – Загальний – Дата обрання: 03.02.2017. – 31 рус.
9. Ловейкін В. С., Костюмін О. Ю. Дослідження пуску скребкового конвеєра з мінімумом завантаження / В. С. Ловейкін, О. Ю. Костюмін // Monel: International journal on operation of farm and agri-food industry machinery. – 2011. Vol. 13B, № 3. – S. 42-45.

Стаття надійшла до друку 7 лютого 2017 р.